

# Undersökning av effekter på grund av $\beta$ -sönderfall i Cesium-137

Dennis Kristiansson ([denkri@student.chalmers.se](mailto:denkri@student.chalmers.se)) och  
Nils Patriksson ([panils@student.chalmers.se](mailto:panils@student.chalmers.se))

1 juni 2020

# 1 Inledning

Kärnfysik är ett område som leder till många tillämpningar men också risker. En risk är radioaktiv strålning som skett vid exempelvis Chernobylkatastrofen då Cesium-137 släpptes ut [1]. Cesium-137  $\beta$ -sönderfaller men ger även upphov till  $\gamma$ -strålning [2]. Hur mycket av strålningen som är  $\gamma$ -strålning kan påverka hur hälsovådligt sönderfallet är och behöver förstås. Denna rapport ämnar bland annat att beskriva hur den ytterligare  $\gamma$ -strålningen uppstår, vilken energi den kan ha och hur stor del av  $\beta$ -sönderfallet som ger upphov till  $\gamma$ -strålning.

## 2 Bakgrund

Ett sönderfall av Caesium-137 till Barium-137 kan beskrivas med

$$^{137}\text{Cs} \longrightarrow ^{137}\text{Ba} + e^- + \bar{\nu}_e. \quad (1)$$

Detta eftersom en neutron i Cs-kärnan kan sönderfalla till en proton. Om sönderfallet kan ske kan utrönas ur det så kallade  $Q$ -värdet. Det beräknas med mass-skillnaden mellan moder- och dotterpartiklar i reaktionen. Alltså kan  $Q$ -värdet för denna reaktion beräknas som

$$Q = [M(^{137}\text{Cs}) - M(^{137}\text{Ba})] \cdot c^2 \quad (2)$$

där  $M(\dots)$  är massan inklusive bindningsenergi och  $c$  är ljushastigheten.  $Q$  i ekvation 2 är positiv [3] vilket gör att sönderfallet kan ske spontant. Just denna typ av  $\beta$ -sönderfall betecknas  $\beta^-$  då det skapas ett elektron- elektronneutrinopar.

Sönderfall av typen  $\beta^-$  kan kategoriseras ytterligare. Genom att mäta upp  $\beta$ -partikelns rörelsemängd och spinn kan skillnaden i isospinn och paritet mellan dotter- och moderkärna beräknas. Övergångssannolikheten kan beskrivas genom Fermis gyllene regel och med en approximation av den kan övergångsregler bestämmas. De sönderfall som följer första ordningens approximation kallas för *tillåtna övergångar*.

Spinnet för  $\beta$ -partikeln är  $\vec{S}_\beta = \vec{S}_{e^-} + \vec{S}_{\nu_e} \in \{0, 1\}$  och  $\vec{J}_\beta = \vec{L}_\beta + \vec{S}_\beta$ . Moderkärnans isospinn beskrivs av  $\vec{I}_M = \vec{I}_D + \vec{J}_\beta$ . Därmed kan man teckna uttryck för  $I_M$ ,  $J_\beta$  och  $S_\beta$  med hjälp av triangelolikheten eftersom spinnet är vektorer. Genom att arrangera om kan man bryta ut att förändringen i isospinn är

$$\Delta I = |I_M - I_D| \leq J_\beta. \quad (3)$$

Även paritetsändringen kan beskrivas genom att betrakta  $\beta$ -partikeln. Pariteten beskrivs av

$$\pi_M = \pi_D \cdot \pi_\beta, \quad \text{där } \pi_\beta = (-1)^{L_\beta}. \quad (4)$$

Alltså kan även paritetsändringen mellan moder- och dotterkärna extraheras från  $L_\beta$ . Övergångarna kategoriseras i *tillåtna*, *första förbjudna* och *andra förbjudna*. De tillåtna övergångarna har  $L_\beta = 0$  och delas upp i  $S_\beta = 0, 1$ . *Första förbjudna* och *andra förbjudna* har  $L_\beta = 1$  respektive  $L_\beta = 2$  men delas även upp i så kallade *Fermiövergångar* och *Gamow-Teller* med  $S_\beta = 0$  respektive  $S_\beta = 1$ . Beräknade  $\Delta I$  och  $\Delta \pi$  för kategorierna visas i tabell 1. Övergångar som markeras med parantes, (...), ignoreras på grund av att flera klasser innehåller dem. Eftersom skeendet är kvantmekaniskt och de *tillåtna*

Klass av övergång		$\Delta I$	$\Delta\pi$
Tillåtna ( $S_\beta = 0, 1$ )		0, 1	0
1:a förbjudna	Fermi ( $S_\beta = 0$ )	(0, 1)	1
	Gamow-Teller ( $S_\beta = 1$ )	(0, 1), 2	1
2:a förbjudna	Fermi ( $S_\beta = 0$ )	(0, 1), 2*	0
	Gamow-Teller ( $S_\beta = 1$ )	(0, 1), 2*, 3	0

Tabell 1: Klassificering av  $\beta$ -övergångar genom de detekterade värdena på  $J_\beta$  och  $S_\beta$ . Övergångar som markeras med parentes, (...), ignoreras. Övergångar som markeras med \* kallas för icke-unika, alltså att de sker både genom *Fermi*- och *Gamow-Teller*-övergångar.

Typ av övergång	$\log_{10}(ft_{1/2})$ -värde	$\Delta I$	$\Delta\pi$
Tillåten	2,9 – 6,0	0, 1	0
Första förbjuden, icke-unik	6 – 9	0, 1	1
Första förbjuden, unik	8 – 10	2	1
Andra förbjuden	11 – 13	2, 3	0

Tabell 2: Möjlig klassificering av  $\beta$ -övergångar med hjälp av simulerade övergångar. Tabellerad data från [4].

*övergångarna* är till första ordningens approximation så kommer dessa vara mer sannolika. Därmed påverkar de otillåtna övergångarna med  $\Delta I = 0, 1$  mätdata försumbart lite. Övergångar som markeras med \* kallas för icke-unika, alltså att de sker både genom *Fermi*- och *Gamow-Teller*-övergångar. Därför kan dessa övergångar ej betraktas för att skilja ut *Fermi*- och *Gamow-Teller*-övergångar. I tabell 2 visas värden för en annan uppdelning av övergångarna som går att detektera. Värdena på  $\log_{10}(ft_{1/2})$  är hämtat från [4] och används för att koppla mätdata till teorin i avsnitt 4.

För att jämföra när olika urvalsregler gäller behöver halveringstiden för de olika sönderfalls-grenarna betraktas. Aktiviteten beskrivs av  $A = N\lambda$  där  $\lambda$  är sönderfallskonstanten och  $N$  är antalet nukleoner. För ett prov med  $^{137}\text{Cs}$  är halveringstiden,  $t_{1/2} = 30$  år [5]. Därmed fås

$$\lambda_{tot} = \frac{\ln 2}{t_{1/2}} \approx 0,023 \text{ år.} \quad (5)$$

För att undersöka vilka isospinn som  $^{137}\text{Cs}$  och  $^{137}\text{Ba}$  har kan man använda nukleära skalmodellen. I analogi med skalmodellen för elektrontillstånd i atomär fysik så bygger den nukleära skalmodellen på en gemensam centralpotential i kärnan och därmed fås ett energidiagram med diskreta energinivåer. För att se vilket spinn som en kärna har kan man fylla på med antalet nukleoner i energiskal initialt från lägsta energinivån. För att få kärns핀net används par-approximationen som ger att parade nukleoner i samma skal har  $J = 0$ . Det ger att endast den sista oparade nukleonen ger ett bidrag till spinnet. För  $^{137}\text{Cs}$  är sista nukleonen i  $(2d_{5/2}^+)$  [5] och oparad men olika skalmodeller använder olika centralpotentialer. Energinivåer med liknande energier kan därför avvika något och därmed kan även  $(1g_{7/2}^+)$  vara sista nukleonen tillstånd i  $^{137}\text{Cs}$  [5]. För  $^{137}\text{Ba}$  kan spinnet på samma sätt bli  $J^\pi = 3/2^+, 1/2^+, 11/2^-$  [5].

### 3 Försökuppställning

Experimentet syftar till att mäta energispektrumet för ett mätprov av  $^{137}\text{Cs}$  som  $\beta^-$ -sönderfaller. Elektronerna från reaktionen i ekvation 1 detekteras med en kisel-detektor. En högenergetisk laddad partikel kommer att avge sin rörelse-energi till Si-atomerna i detektorn. En svag strömpuls, vars amplitud är proportionell mot den avgivna energin genereras av halvledaren Si och kan förstärkas och mätas vilket görs med en ADC (analog-till-digital konverterare). Varje puls detekteras av ADC:n och sparas i en kanal som motsvarar ett visst amplitudintervall. Genom att kalibrera ADC:ns kanaler mot kända sönderfall kan därefter ett energispektrum extraheras.

### 4 Utförande

Kalibrering av utrustningen utföres initialt. Mätdata bestod i histogram över antalet sönderfall i olika energi-kanaler. Vilken energi som hörde till vilken kanal kalibrerades genom att betrakta tre kända övergångar i  $^{207}\text{Bi}$ . Till energierna anpassades vilket kanalnummer som motsvarade vilken energi.

Sönderfallsspektrumet för  $^{137}\text{Cs}$  kunde därefter uppmätas och analyseras. Bakgrundstrålning hade uppmätts under 97 timmar subtraherades från mätdata efter anpassning till att mätningen på  $^{137}\text{Cs}$  gjordes under 117 timmar. Den så kallade Kurie-plotten extraherades även från spektrumdata. Det som ritas är

$$K(T_e) = \sqrt{\frac{N(T_e)}{\sqrt{T_e}F(Z,T_e)}} \quad (6)$$

mot  $T_e$  som är  $\beta$ -elektronernas kinetiska energi.  $N(T_e)$  är antalet detekterade elektroner med energi  $T_e$  och  $F(Z,T_e)$  är Fermi-avskärmings faktorn där  $Z$  är protontalet.

För att kategorisera de olika sönderfallen har även den komparativa halveringstiden,  $\log_{10}(ft_{1/2})$ , beräknats.  $t_{1/2}$  är halveringstiden för den aktuella sönderfallsgrenen och kan skilja sig något mellan olika sönderfallsgrenar. Värdet på  $f$  definieras som

$$f(Z,Q_\beta) = \frac{\sqrt{2}}{m_e^{7/2}c^7} \int_0^{Q_\beta} \sqrt{T_e}(Q_\beta - T_e)^2 F(Z,T_e) dT_e \quad (7)$$

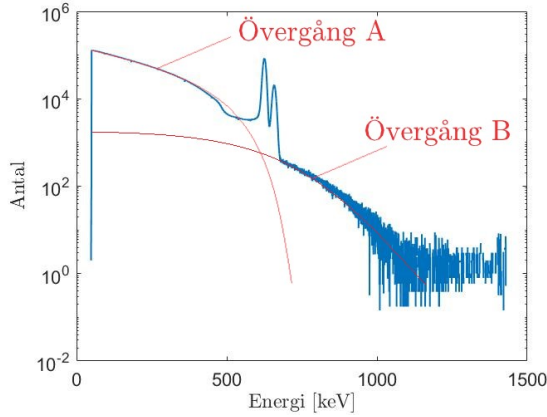
där  $Q_\beta$  är sönderfallets Q-värde,  $Z$  är protontalet och resten av variablerna är som tidigare definierat.  $f$  benämns ofta *Fermi-integralen*. För att korrelera olika urvalsregler mot sönderfallen har även annan data från [4] använts där korrelationen mellan komparativa halveringstiden och olika klasser av  $\beta$ -sönderfall summeras.

### 5 Resultat och diskussion

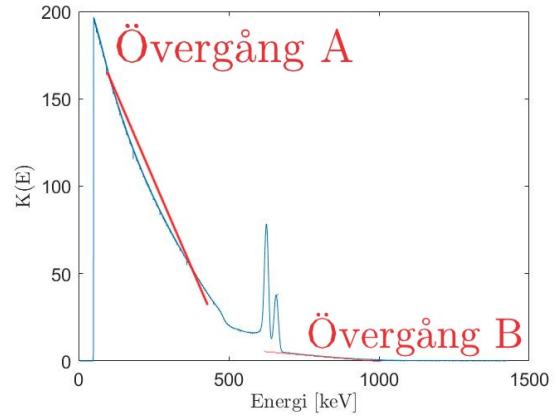
Det uppmätta spektrumet för  $^{137}\text{Cs}$  visas i figur 1. I figuren är två  $\beta$ -övergångar markerade som övergång A och B. Övergång A har ett något lägre Q-värde vilket syns på att den fördelningen skär energiaxeln vid ungefär 700 keV medan övergång B skär energiaxeln över 1000 keV. Alltså finns två sönderfallsgrenar, en lågenergi-gren och en högenergi-gren. För att beräkna Q-värdena för de båda reaktionerna kan två linjära anpassningar göras

till kurvan i figur 2. Anpassningen för övergång A och B är ritade i grafen och korsar energi axeln i 508 keV respektive 1010 keV. I figur 2 syns dock att linjen för övergång A inte är linjär vilket tillför en osäkerhet i anpassningen. Precis var skärningspunkten med energi axeln har därför en stor osäkerhet.

Två stycken distinkta toppar syns även i grafen vid energin 600 – 700 keV. Eftersom även fotoner kan trigga utrustningen att detektera en detektion så är det med stor sannolikhet något sådant som syns.



Figur 1: Energispektrum över antalet detekterade händelser för  $^{137}\text{Cs}$  och  $^{137}\text{Ba}$ . Övergång A och B betecknar två olika  $\beta$ -övergångar.



Figur 2: Kurieplot för sönderfall av  $^{137}\text{Cs}$ . Övergång A och B betecknar två  $\beta$ -övergångar och två ytterligare övergångar är utmärkta.

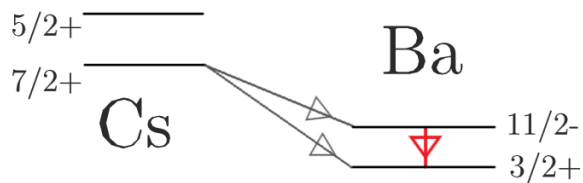
För att beräkna  $\log_{10}(ft_{1/2})$  behöver två kvantiteter extraheras från mätdata. Dels Q-värdena för sönderfallsgrenarna och dels halveringstiderna för desamma. Lågenergi-grenen verkar ge mer aktivitet än högenergi-grenen i figur 1 (antalet sönderfall är högre). Eftersom aktiviteten är proportionell mot sönderfallskonstanten  $\lambda$  så är  $\lambda_{\text{låg-energi}} > \lambda_{\text{hög-energi}}$ . Vidare undersökning av sönderfallen skulle kunna innefatta en bestämning av  $\lambda$  för grenarna vilket skulle ge ett noggrannare värde på komparativa halveringstiden. Här tar vi dock  $\lambda_{lg} = 0,9\lambda_{tot}$  och  $\lambda_{hg} = 0,1\lambda_{tot}$ . Med total halveringstid som i ekvation 5 kan därmed  $t_{1/2}$  beräknas för grenarna var för sig.

Med Q-värdena som extraherats ur Kurieplotten och halveringstiderna för sönderfallsgrenarna erhålls komparativa halveringstider. För lågenergi-grenen fås därmed  $\log_{10}(ft_{1/2}) \approx 9,18$  och för högenergi-grenen  $\log_{10}(ft_{1/2}) \approx 11,21$ .

Vidare kan komparativa halveringstiden jämföras med annan data för att utröna om det är en *tillåten*, *första* eller *andra* förbjuden övergång. I tabell 2 kan ses att lågenergi-grenen förmodligen är en *första förbjuden*, *unik*. I tabell 1 kan ses att  $\Delta I = 2$  och att  $\Delta\pi = 1$  (alltså paritetsändring). Enligt ekvation 3 så fungerar endast  $I_M = 7/3+$  och  $I_D = 11/2-$  av de tillstånd som kan förutses av skalmodellen.

För högenergi-grenen kan på samma sätt avläsas i tabell 2 att den är av typen *andra förbjuden*. För att urskilja om det är en unik eller icke-unik kan användas att då  $\log_{10}(ft_{1/2}) \in \{10,8, 11,7\}$  är den icke-unika övergången mer sannolik [4]. Därmed är förmodligen  $\Delta I = 2$  och ingen paritetsändring föreligger. I enlighet med ekvation 3 fungerar därför  $I_M = 7/3+$  och  $I_D = 3/2+$  som spinn i moder- och dotterkärna.

Med denna ytterligare information kan slutsatsen dras att  $^{137}\text{Cs}$  sönderfaller till  $^{137}\text{Ba}$  från grundtillståndet ( $1g_{7/2}^+$ ) i båda sönderfallsgrenarna. De två energinivåer som  $^{137}\text{Ba}$



Figur 3: Möjligt sönderfalls-schema för reaktionen  $^{137}\text{Cs} \rightarrow ^{137}\text{Ba} + e^- + \bar{\nu}_e$ . Kvanttalet  $J^\pi$  är markerat vid varje energinivå de observerade övergångarna är markerade med pilar. En  $\gamma$ -övergång som ej observerats i datan men som kan finnas i  $^{137}\text{Ba}$  är ritad i rött.

antar efter sönderfallet är förmodligen  $(1h_{11/2}^-)$  och  $(2d_{3/2}^-)$ . Eftersom högenergi-grenen går till  $(2d_{3/2}^-)$  är det tillståndet med lägre energi. Det resulterande sönderfalls-schemat visas i figur 3 där siffrorna betecknar  $J^\pi$  och pilarna övergångar. Ett ej detekterad  $\gamma$ -sönderfall är även ritat i rött. Eftersom  $\lambda_{lg} = 0,9\lambda_{tot}$  kommer en majoritet av  $\beta$ -sönderfallen att ge upphov till  $\gamma$ -sönderfall. Detta överensstämmer med annan litteratur där 85,6% av  $\beta$ -sönderfallen ger upphov till  $\gamma$ -sönderfall [6].

Slutsatsen kan även jämföras med exempelvis data från [5] där  $^{137}\text{Ba}$ :s grundtillstånd anges med  $J^\pi = 3/2^+$  och  $^{137}\text{Cs}$ :s grundtillstånd som  $J^\pi = 7/2^+$  vilket överensstämmer med våra resultat. Om dock skalmodellen som använts i [5] betraktas stämmer inte energinivåernas placering vilket tyder på att skalmodellen ej är korrekt i alla fall.

Vad gäller det inducerade  $\gamma$ -sönderfallet kan ett ungefärligt mått ges på dess energi. Eftersom Q-värdena för  $\beta$ -sönderfallen skiljer sig med ungefär 500 keV borde även den utsända  $\gamma$ -partikeln ha ungefär den energin. I annan litteratur presenteras energin 612 keV vilket skiljer sig en del från värdet erhållet i denna rapporten [3].

Slutligen kan konstateras att då  $^{137}\text{Cs}$   $\beta$ -sönderfaller ger det upphov till mestadels exiterade tillstånd av  $^{137}\text{Ba}$ . Alltså genereras en betydande mängd  $\gamma$ -strålning med en energi på ungefär 500 keV. Med ytterligare studier av sönderfallet skulle den energin kunna bestämmas med bättre noggrannhet. Framförallt hade bestämning av Q-värdena behövt förbättras.

## Referenser

- [1] F. Marino och L. Nunziata, “Long-Term Consequences of the Chernobyl Radioactive Fallout: An Exploration of the Aggregate Data”, *The Milbank Quarterly*, årg. 96, nr 4, s. 814–857, 2018.
- [2] D. Delacroix, J. P. Guerre, P. Leblanc och C. Hickman, *Radionuclide and radiation protection data handbook 2002*, 1. Oxford University Press, 2002, vol. 98, s. 1–168.
- [3] E. Browne och J. Tuli, “Nuclear data sheets for A= 137”, *Nuclear Data Sheets*, årg. 108, nr 10, s. 2173–2318, 2007.
- [4] C. Forssén, D. Sääf och R. Thies, *Beta-spectroscopy and Fermi theory of beta decay*. 2013. URL: <https://chalmers.instructure.com/courses/9454/modules/items/64914>.
- [5] C. Nordling och J. Österman, *Physics handbook for science and engineering*. Studentlitteratur ab, 2006.
- [6] R. Bunting, “Nuclear data sheets for A= 137”, *Nuclear Data Sheets*, årg. 15, nr 3, s. 335–369, 1975.